

# Redes Neurais Avançadas: Algoritmos, Implementações e Aplicações

Luiz Tiago Wilcke

25 de dezembro de 2024

## Resumo

Este artigo explora conceitos avançados em redes neurais, apresentando algoritmos fundamentais como Minimax e algoritmos de Aprendizado Profundo em pseudocódigo. Além disso, ilustra-se a estrutura de redes neurais através de diagramas detalhados e discute-se diversas arquiteturas avançadas, técnicas de otimização, regularização e aplicações em diferentes domínios. O objetivo é fornecer uma compreensão aprofundada das técnicas e implementações modernas em redes neurais, sustentada por referências bibliográficas relevantes.

## Sumário

<b>1</b>	<b>Introdução</b>	<b>3</b>
<b>2</b>	<b>História das Redes Neurais</b>	<b>3</b>
<b>3</b>	<b>Redes Neurais Avançadas</b>	<b>4</b>
3.1	Redes Neurais Convolucionais (CNNs)	4
3.1.1	Componentes Principais das CNNs	4
3.2	Redes Neurais Recorrentes (RNNs)	5
3.2.1	Componentes Principais das RNNs	5
3.3	Redes Neurais Profundas (DNNs)	5
3.4	Redes Generativas Adversariais (GANs)	5
3.5	Transformers	6
<b>4</b>	<b>Algoritmos Fundamentais</b>	<b>6</b>
4.1	Algoritmo Minimax	6
4.1.1	Pseudocódigo do Algoritmo Minimax	6
4.1.2	Explicação do Algoritmo	6
4.1.3	Aprimoramentos do Minimax	6
4.2	Algoritmos de Aprendizado Profundo	7
4.2.1	Algoritmo de Retropropagação	7
4.2.2	Formulação Matemática da Retropropagação	7
4.2.3	Pseudocódigo do Gradient Descent	8
4.2.4	Otimização com Adam	8
4.3	Regularização em Redes Neurais	8

<b>5</b>	<b>Arquiteturas Avançadas</b>	<b>9</b>
5.1	Redes Neurais Convolucionais (CNNs)	9
5.2	Redes Neurais Recorrentes (RNNs) e suas Variações	9
5.3	Transformers e Modelos de Atenção	10
5.4	Redes Generativas Adversariais (GANs)	10
5.5	Redes Neurais Profundas (DNNs)	10
<b>6</b>	<b>Otimização e Técnicas de Regularização</b>	<b>10</b>
6.1	Otimização	10
6.1.1	Momentum	10
6.1.2	AdaGrad	11
6.2	Técnicas de Regularização Avançadas	11
6.2.1	Batch Normalization	11
6.2.2	Layer Normalization	11
6.2.3	DropConnect	11
<b>7</b>	<b>Técnicas de Treinamento</b>	<b>11</b>
7.1	Transfer Learning	11
7.2	Fine-Tuning	11
7.3	Aprendizado Semi-Supervisionado e Não Supervisionado	12
<b>8</b>	<b>Aplicações Avançadas das Redes Neurais</b>	<b>12</b>
8.1	Visão Computacional	12
8.2	Processamento de Linguagem Natural (PLN)	12
8.3	Reconhecimento de Fala	12
8.4	Jogos Estratégicos	12
8.5	Saúde e Medicina	12
8.6	Finanças	12
8.7	Robótica	13
<b>9</b>	<b>Estudos de Caso</b>	<b>13</b>
9.1	Estudo de Caso 1: Reconhecimento de Imagens com ResNet	13
9.1.1	Arquitetura da ResNet	13
9.1.2	Resultados	13
9.2	Estudo de Caso 2: Tradução Automática com Transformers	13
9.2.1	Arquitetura do Transformer	14
9.2.2	Resultados	14
<b>10</b>	<b>Implementação de Redes Neurais</b>	<b>14</b>
10.1	Pseudocódigo para uma Rede Neural Feedforward	14
10.1.1	Explicação do Pseudocódigo	14
10.2	Frameworks Populares para Redes Neurais	14
10.2.1	TensorFlow	14
10.2.2	PyTorch	16
10.2.3	Keras	16
10.2.4	MXNet	16

<b>11 Diagramas de Redes Neurais</b>	<b>16</b>
11.1 Rede Neural Feedforward . . . . .	16
11.2 Rede Neural Convolutacional (CNN) . . . . .	17
11.3 Rede Neural Recorrente (RNN) . . . . .	17
11.4 Rede Generativa Adversarial (GAN) . . . . .	17
<b>12 Implementação Prática com TensorFlow</b>	<b>17</b>
12.1 Exemplo de Implementação . . . . .	17
12.1.1 Explicação do Código . . . . .	18
<b>13 Tendências Futuras em Redes Neurais</b>	<b>18</b>
13.1 Aprendizado Federado . . . . .	19
13.2 Redes Neurais AutoML . . . . .	19
13.3 Explicabilidade e Interpretabilidade . . . . .	19
13.4 Integração com Computação Quântica . . . . .	19
13.5 Redes Neurais Espinhadas (Spiking Neural Networks) . . . . .	19
<b>14 Conclusão</b>	<b>19</b>
<b>15 Referências</b>	<b>20</b>

## 1 Introdução

Redes neurais têm se destacado como uma das principais abordagens no campo da inteligência artificial e aprendizado de máquina. Inspiradas no funcionamento do cérebro humano, essas estruturas computacionais têm evoluído significativamente, incorporando técnicas avançadas que permitem resolver problemas complexos em diversas áreas, como visão computacional, processamento de linguagem natural, jogos estratégicos, entre outros [21].

Este artigo aborda conceitos avançados em redes neurais, detalhando algoritmos como Minimax e algoritmos de Aprendizado Profundo. Além disso, apresenta-se diagramas que ilustram a estrutura e funcionamento das redes neurais modernas, discutindo também arquiteturas avançadas, técnicas de otimização e regularização, bem como aplicações práticas.

## 2 História das Redes Neurais

A origem das redes neurais remonta à década de 1940, com os primeiros modelos matemáticos inspirados no cérebro humano [?]. Na década de 1950, o Perceptron, desenvolvido por Frank Rosenblatt, foi um dos primeiros algoritmos de rede neural para classificação binária [?]. Apesar de seu potencial inicial, as redes neurais enfrentaram um período de estagnação conhecido como "inverno das redes neurais" devido a limitações computacionais e teóricas [17].

A ressurgência das redes neurais ocorreu nos anos 1980 com a introdução do algoritmo de retropropagação por Rumelhart, Hinton e Williams [29], que permitiu o

treinamento eficiente de redes multilayer. Desde então, avanços em arquiteturas, poder computacional e disponibilidade de grandes conjuntos de dados impulsionaram o desenvolvimento das redes neurais modernas.

## 3 Redes Neurais Avançadas

Redes neurais avançadas incluem arquiteturas complexas que permitem modelar e resolver problemas de alta dimensionalidade e não linearidade. Algumas das arquiteturas mais notáveis incluem Redes Neurais Convolucionais (CNNs), Redes Neurais Recorrentes (RNNs), Redes Neurais Profundas (DNNs), Redes Generativas Adversariais (GANs), e Transformers.

### 3.1 Redes Neurais Convolucionais (CNNs)

As CNNs são especialmente eficazes no processamento de dados com estrutura em grade, como imagens. Elas utilizam camadas convolucionais que aplicam filtros para extrair características locais, seguidas por camadas de pooling que reduzem a dimensionalidade dos dados. Arquiteturas como LeNet, AlexNet, VGG, ResNet e Inception demonstraram avanços significativos em tarefas de reconhecimento de imagem [21].

#### 3.1.1 Componentes Principais das CNNs

- **Camadas Convolucionais:** Aplicam filtros para detectar características como bordas, texturas e formas. Matematicamente, a operação de convolução em uma camada convolucional pode ser representada como:

$$(f * g)(t) = \int_{-\infty}^{\infty} f(\tau)g(t - \tau)d\tau \quad (1)$$

Onde  $f$  é a entrada e  $g$  é o filtro (kernel).

- **Camadas de Pooling:** Reduzem a dimensionalidade espacial dos dados, mantendo informações essenciais. A operação de *max pooling*, por exemplo, é definida como:

$$y_{i,j} = \max_{(m,n) \in \text{pool}} x_{i+m,j+n} \quad (2)$$

Onde pool define a janela de pooling.

- **Camadas Totalmente Conectadas:** Realizam a classificação final com base nas características extraídas. A saída de uma camada totalmente conectada é dada por:

$$y = \sigma(Wx + b) \quad (3)$$

Onde  $W$  são os pesos,  $x$  a entrada,  $b$  o viés e  $\sigma$  a função de ativação.

- **Funções de Ativação:** Introduzem não-linearidade, permitindo a modelagem de relações complexas. Comumente utilizadas são a ReLU (Rectified Linear Unit), definida por:

$$\text{ReLU}(x) = \max(0, x) \quad (4)$$

## 3.2 Redes Neurais Recorrentes (RNNs)

As RNNs são adequadas para dados sequenciais, como texto e séries temporais. Elas possuem conexões recorrentes que permitem a retenção de informações ao longo de sequências, capturando dependências temporais [9]. Variedades como LSTM (Long Short-Term Memory) e GRU (Gated Recurrent Unit) foram desenvolvidas para mitigar problemas de gradiente, como o desaparecimento e explosão [16].

### 3.2.1 Componentes Principais das RNNs

- **Unidades Recorrentes:** Memorizam informações de estados anteriores. A atualização de estado em uma RNN básica é dada por:

$$h_t = \sigma(W_{hh}h_{t-1} + W_{xh}x_t + b_h) \quad (5)$$

Onde  $h_t$  é o estado oculto no tempo  $t$ ,  $x_t$  a entrada,  $W_{hh}$  e  $W_{xh}$  os pesos, e  $b_h$  o viés.

- **Portões de Controle (em LSTM/GRU):** Regulam o fluxo de informações, permitindo o aprendizado de dependências de longo prazo. Por exemplo, em uma LSTM, temos portões de entrada, esquecimento e saída:

$$f_t = \sigma(W_f \cdot [h_{t-1}, x_t] + b_f) \quad (6)$$

$$i_t = \sigma(W_i \cdot [h_{t-1}, x_t] + b_i) \quad (7)$$

$$\tilde{C}_t = \tanh(W_C \cdot [h_{t-1}, x_t] + b_C) \quad (8)$$

$$C_t = f_t * C_{t-1} + i_t * \tilde{C}_t \quad (9)$$

$$o_t = \sigma(W_o \cdot [h_{t-1}, x_t] + b_o) \quad (10)$$

$$h_t = o_t * \tanh(C_t) \quad (11)$$

- **Funções de Ativação:** Como tanh e sigmoid, introduzem não-linearidade.

## 3.3 Redes Neurais Profundas (DNNs)

As DNNs consistem em múltiplas camadas ocultas que permitem a modelagem de funções altamente não lineares. A profundidade das redes contribui para a capacidade de abstração e representação de padrões complexos nos dados [12].

## 3.4 Redes Generativas Adversariais (GANs)

Introduzidas por Goodfellow et al. [11], as GANs consistem em duas redes neurais: um gerador e um discriminador, que competem em um jogo de soma zero. O gerador tenta criar dados realistas, enquanto o discriminador tenta distinguir entre dados reais e gerados. GANs têm sido usadas para geração de imagens, síntese de voz e outros aplicativos criativos.

A função de perda para o gerador  $G$  e o discriminador  $D$  em uma GAN pode ser formalizada como:

$$\min_G \max_D \mathbb{E}_{x \sim p_{\text{real}}(x)} [\log D(x)] + \mathbb{E}_{z \sim p_z(z)} [\log(1 - D(G(z)))] \quad (12)$$

### 3.5 Transformers

Os Transformers, introduzidos por Vaswani et al. [32], revolucionaram o processamento de linguagem natural (PLN) e outras áreas, utilizando mecanismos de atenção para capturar dependências globais nas sequências de dados. Modelos baseados em Transformers, como BERT e GPT, demonstraram desempenho superior em várias tarefas de PLN.

O mecanismo de atenção multi-cabeça é definido como:

$$\text{MultiHead}(Q, K, V) = \text{Concat}(\text{head}_1, \dots, \text{head}_h)W^O \quad (13)$$

onde cada  $\text{head}_i$  é dada por:

$$\text{head}_i = \text{Attention}(QW_i^Q, KW_i^K, VW_i^V) \quad (14)$$

e  $\text{Attention}(Q, K, V)$  é definida por:

$$\text{Attention}(Q, K, V) = \text{softmax}\left(\frac{QK^T}{\sqrt{d_k}}\right)V \quad (15)$$

onde  $Q$ ,  $K$ , e  $V$  são as matrizes de consulta, chave e valor, respectivamente, e  $d_k$  é a dimensão das chaves.

## 4 Algoritmos Fundamentais

Nesta seção, detalhamos algoritmos essenciais utilizados em redes neurais e jogos estratégicos, apresentando pseudocódigos e explicações aprofundadas.

### 4.1 Algoritmo Minimax

O algoritmo Minimax é uma técnica de busca utilizada em jogos de soma zero, onde dois jogadores tomam decisões alternadamente com o objetivo de minimizar a perda máxima possível. É amplamente utilizado em jogos como xadrez, damas e tic-tac-toe.

#### 4.1.1 Pseudocódigo do Algoritmo Minimax

#### 4.1.2 Explicação do Algoritmo

O algoritmo Minimax explora todas as possibilidades de movimento até uma certa profundidade, assumindo que ambos os jogadores jogam de forma ótima. O jogador maximizante tenta maximizar o valor da função de avaliação, enquanto o jogador minimizante tenta minimizá-la.

#### 4.1.3 Aprimoramentos do Minimax

- **Poda Alfa-Beta:** Reduz o número de nós avaliados na árvore de decisão, eliminando ramos que não podem influenciar a decisão final [20].

---

**Algorithm 1** Algoritmo Minimax

---

```
1: function MINIMAX(node, depth, maximizingPlayer)
2:   if depth == 0 ou node é folha then
3:     return valor_da_avaliação(node)
4:   end if
5:   if maximizingPlayer then
6:      $maxEval \leftarrow -\infty$ 
7:     for cada filho em node.children do
8:        $eval \leftarrow \text{MINIMAX}(\text{filho}, \text{depth} - 1, \text{Falso})$ 
9:        $maxEval \leftarrow \max(maxEval, eval)$ 
10:    end for
11:    return  $maxEval$ 
12:   else
13:      $minEval \leftarrow +\infty$ 
14:     for cada filho em node.children do
15:        $eval \leftarrow \text{MINIMAX}(\text{filho}, \text{depth} - 1, \text{Verdadeiro})$ 
16:        $minEval \leftarrow \min(minEval, eval)$ 
17:    end for
18:    return  $minEval$ 
19:   end if
20: end function
```

---

- **Heurísticas de Avaliação:** Melhoram a precisão das avaliações dos estados de jogo quando a profundidade de busca é limitada.
- **Iterative Deepening:** Combina a profundidade limitada com a busca de profundidade crescente, garantindo que a melhor jogada encontrada até o momento esteja disponível mesmo se a busca for interrompida.

## 4.2 Algoritmos de Aprendizado Profundo

Os algoritmos de aprendizado profundo são fundamentais para treinar redes neurais profundas, ajustando os pesos das conexões para minimizar a função de perda. Dentre os algoritmos mais utilizados, destacam-se o Gradient Descent, Stochastic Gradient Descent (SGD), Adam, RMSprop, entre outros.

### 4.2.1 Algoritmo de Retropropagação

A retropropagação é o algoritmo mais comum para treinar redes neurais, calculando os gradientes da função de perda em relação aos pesos da rede e atualizando-os de acordo.

### 4.2.2 Formulação Matemática da Retropropagação

A retropropagação utiliza a regra da cadeia para calcular os gradientes da função de perda  $L$  em relação aos pesos  $W$  das camadas ocultas. Para uma camada  $l$ , o

---

**Algorithm 2** Algoritmo de Retropropagação

---

```
1: function RETROPROPAGAÇÃO( $X, Y, epochs, taxa\_aprendizado$ )
2:   for época = 1 até epochs do
3:     for cada amostra  $(x, y)$  em  $(X, Y)$  do
4:        $output \leftarrow \text{FORWARD}(x)$ 
5:        $erro \leftarrow y - output$ 
6:        $gradientes \leftarrow \text{BACKWARD}(erro)$ 
7:       ATUALIZARPESOS( $gradientes, taxa\_aprendizado$ )
8:     end for
9:   end for
10: end function
```

---

gradiente é dado por:

$$\frac{\partial L}{\partial W^{(l)}} = \delta^{(l)} (a^{(l-1)})^T \quad (16)$$

onde  $\delta^{(l)}$  é o erro na camada  $l$  e  $a^{(l-1)}$  são as ativações da camada anterior.

#### 4.2.3 Pseudocódigo do Gradient Descent

---

**Algorithm 3** Gradient Descent

---

```
1: function GRADIENTDESCENT( $\theta, X, Y, learning\_rate, epochs$ )
2:   for época = 1 até epochs do
3:      $predictions \leftarrow X \cdot \theta$ 
4:      $erro \leftarrow predictions - Y$ 
5:      $gradient \leftarrow X^T \cdot erro / \text{tamanho}(Y)$ 
6:      $\theta \leftarrow \theta - learning\_rate \cdot gradient$ 
7:   end for
8:   return  $\theta$ 
9: end function
```

---

#### 4.2.4 Otimização com Adam

Adam (Adaptive Moment Estimation) é um algoritmo de otimização que combina as vantagens do AdaGrad e do RMSprop, adaptando a taxa de aprendizado para cada parâmetro.

### 4.3 Regularização em Redes Neurais

A regularização é uma técnica utilizada para prevenir o overfitting, melhorando a generalização do modelo. Algumas técnicas comuns incluem:

- **Dropout:** Desativa aleatoriamente neurônios durante o treinamento, forçando a rede a aprender representações mais robustas [30].



---

**Algorithm 4** Algoritmo Adam

---

```
1: function ADAM( $\theta, X, Y, learning\_rate, beta1, beta2, epsilon, epochs$ )
2:    $m \leftarrow 0$ 
3:    $v \leftarrow 0$ 
4:   for  $\acute{e}poca = 1$  at   $epochs$  do
5:      $predictions \leftarrow X \cdot \theta$ 
6:      $erro \leftarrow predictions - Y$ 
7:      $gradient \leftarrow X^T \cdot erro / tamanho(Y)$ 
8:      $m \leftarrow \beta1 \cdot m + (1 - \beta1) \cdot gradient$ 
9:      $v \leftarrow \beta2 \cdot v + (1 - \beta2) \cdot gradient^2$ 
10:     $\hat{m} \leftarrow m / (1 - \beta1^{epoch})$ 
11:     $\hat{v} \leftarrow v / (1 - \beta2^{epoch})$ 
12:     $\theta \leftarrow \theta - learning\_rate \cdot \hat{m} / (\sqrt{\hat{v}} + \epsilon)$ 
13:  end for
14:  return  $\theta$ 
15: end function
```

---

- **L2 Regularization (Weight Decay):** Adiciona uma penalidade ao quadrado dos pesos na fun  o de perda, incentivando pesos menores. A fun  o de perda com L2 regulariza  o  :

$$L = L_{\text{original}} + \lambda \sum_i W_i^2 \quad (17)$$

Onde  $\lambda$    o coeficiente de regulariza  o.

- **Early Stopping:** Interrompe o treinamento quando a performance no conjunto de valida  o n o melhora mais.
- **Data Augmentation:** Aumenta o conjunto de dados com transforma  es, melhorando a robustez do modelo.

## 5 Arquiteturas Avan  adas

Nesta se  o, exploramos arquiteturas avan  adas de redes neurais que t m impulsionado avan  os significativos em diversas  reas.

### 5.1 Redes Neurais Convolucionais (CNNs)

J  discutidas anteriormente, as CNNs s o a base para muitas aplica  es de vis o computacional. Avan  os como ResNet introduziram conex es residuais que facilitam o treinamento de redes muito profundas [14].

### 5.2 Redes Neurais Recorrentes (RNNs) e suas Varia  es

Al m das RNNs b sicas, arquiteturas como LSTM e GRU t m melhorado significativamente a capacidade de modelar sequ ncias longas [5, 16]. Elas s o fundamentais em tarefas de tradu  o autom tica, reconhecimento de fala e gera  o de texto.

### 5.3 Transformers e Modelos de Atenção

Os Transformers têm revolucionado o campo de PLN ao eliminar a necessidade de estruturas sequenciais, permitindo paralelização eficiente e capturando dependências globais com mecanismos de atenção [32]. Modelos como BERT, GPT e T5 são exemplos de Transformers aplicados com sucesso em diversas tarefas.

### 5.4 Redes Generativas Adversariais (GANs)

As GANs permitem a geração de dados realistas a partir de distribuições latentes, com aplicações em geração de imagens, síntese de voz e criação de conteúdo [11]. Variações como DCGAN, CycleGAN e StyleGAN têm ampliado o potencial dessas redes.

### 5.5 Redes Neurais Profundas (DNNs)

As DNNs, compostas por múltiplas camadas ocultas, têm sido utilizadas em diversas áreas, incluindo reconhecimento de fala, tradução automática e detecção de fraudes. A profundidade das redes permite a captura de representações hierárquicas complexas [12].

## 6 Otimização e Técnicas de Regularização

A otimização eficiente e a regularização adequada são cruciais para o treinamento bem-sucedido de redes neurais profundas. Nesta seção, discutimos técnicas avançadas que melhoram a convergência e a generalização dos modelos.

### 6.1 Otimização

Além dos algoritmos de otimização mencionados anteriormente, outras técnicas incluem:

#### 6.1.1 Momentum

O momentum acelera o gradient descent, acumulando uma média móvel dos gradientes passados para suavizar as atualizações e evitar os mínimos locais [26]. A atualização dos pesos com momentum é dada por:

$$v_t = \gamma v_{t-1} + \eta \nabla_{\theta} L(\theta) \theta = \theta - v_t \quad (18)$$

Onde  $\gamma$  é o fator de momentum,  $\eta$  a taxa de aprendizado e  $\nabla_{\theta} L(\theta)$  o gradiente da função de perda.

### 6.1.2 AdaGrad

AdaGrad adapta a taxa de aprendizado para cada parâmetro com base na frequência dos gradientes, permitindo grandes atualizações para parâmetros raramente atualizados [8]. A atualização dos pesos é dada por:

$$G_t = G_{t-1} + \nabla_{\theta} L(\theta) \nabla_{\theta} L(\theta)^T \theta = \theta - \frac{\eta}{\sqrt{G_t + \epsilon}} \nabla_{\theta} L(\theta) \quad (19)$$

Onde  $G_t$  é a matriz de acumulação dos gradientes e  $\epsilon$  um termo de estabilidade.

## 6.2 Técnicas de Regularização Avançadas

### 6.2.1 Batch Normalization

Batch Normalization normaliza as ativações em cada mini-batch, acelerando o treinamento e melhorando a estabilidade [19]. A normalização é definida como:

$$\hat{x} = \frac{x - \mu_B}{\sqrt{\sigma_B^2 + \epsilon}} y = \gamma \hat{x} + \beta \quad (20)$$

Onde  $\mu_B$  e  $\sigma_B^2$  são a média e a variância do mini-batch, respectivamente, e  $\gamma$ ,  $\beta$  são parâmetros aprendíveis.

### 6.2.2 Layer Normalization

Semelhante ao Batch Normalization, mas normaliza as ativações ao longo das características em vez do batch, sendo útil para RNNs [2].

### 6.2.3 DropConnect

Uma variação do Dropout, onde as conexões entre neurônios são desativadas aleatoriamente durante o treinamento [33].

## 7 Técnicas de Treinamento

Além da otimização e regularização, várias técnicas de treinamento contribuem para a eficiência e eficácia do treinamento de redes neurais.

### 7.1 Transfer Learning

Transfer Learning envolve o uso de um modelo pré-treinado em uma tarefa relacionada, ajustando-o para uma nova tarefa com menos dados [?]. É amplamente utilizado em visão computacional e PLN.

### 7.2 Fine-Tuning

Fine-Tuning é a prática de ajustar os pesos de um modelo pré-treinado durante o treinamento em uma nova tarefa, permitindo que o modelo se adapte às especificidades da nova tarefa.

### **7.3 Aprendizado Semi-Supervisionado e Não Supervisionado**

Essas abordagens utilizam dados não rotulados para melhorar o desempenho dos modelos, complementando os dados rotulados disponíveis [3].

## **8 Aplicações Avançadas das Redes Neurais**

Redes neurais têm sido aplicadas com sucesso em uma ampla variedade de domínios. Nesta seção, destacamos algumas das aplicações mais impactantes.

### **8.1 Visão Computacional**

Aplicações incluem reconhecimento de objetos, detecção de faces, segmentação de imagens e geração de imagens realistas. Arquiteturas como CNNs e GANs são fundamentais nesse domínio [?].

### **8.2 Processamento de Linguagem Natural (PLN)**

Redes neurais transformaram o PLN, permitindo avanços em tradução automática, resposta a perguntas, resumo de texto e geração de linguagem natural. Modelos baseados em Transformers, como BERT e GPT, são exemplos notáveis [32].

### **8.3 Reconhecimento de Fala**

Redes neurais, especialmente RNNs e Transformers, têm melhorado significativamente a precisão do reconhecimento de fala, facilitando interfaces de voz e assistentes virtuais [18].

### **8.4 Jogos Estratégicos**

Algoritmos como Minimax, combinados com redes neurais profundas, têm sido utilizados para criar agentes que alcançam ou superam o desempenho humano em jogos como xadrez, Go e Dota 2 [31].

### **8.5 Saúde e Medicina**

Aplicações incluem diagnóstico de doenças a partir de imagens médicas, descoberta de fármacos, análise de dados genômicos e predição de resultados clínicos [?].

### **8.6 Finanças**

Redes neurais são utilizadas para previsão de mercado, detecção de fraudes, gerenciamento de riscos e automação de processos financeiros [15].

## 8.7 Robótica

Redes neurais permitem que robôs percebam e interajam com o ambiente de forma mais eficiente, melhorando a navegação, manipulação de objetos e interação humano-robô [13].

## 9 Estudos de Caso

Apresentamos a seguir dois estudos de caso que ilustram a aplicação de redes neurais avançadas em diferentes contextos.

### 9.1 Estudo de Caso 1: Reconhecimento de Imagens com ResNet

A ResNet (Residual Network) introduz conexões residuais que permitem o treinamento de redes muito profundas sem sofrer do problema de desaparecimento do gradiente. Implementada com centenas de camadas, a ResNet alcançou desempenho de ponta em tarefas de reconhecimento de imagem no ImageNet [14].

#### 9.1.1 Arquitetura da ResNet

A ResNet utiliza blocos residuais, onde a entrada é somada à saída do bloco após a passagem por camadas convolucionais e funções de ativação. Isso facilita o fluxo de gradientes durante o treinamento, permitindo a construção de redes com até 152 camadas [14].

Matematicamente, um bloco residual pode ser representado como:

$$\mathbf{y} = \mathcal{F}(\mathbf{x}, \{W_i\}) + \mathbf{x} \quad (21)$$

onde  $\mathcal{F}$  é a função de transformação aprendida (por exemplo, duas camadas convolucionais) e  $\mathbf{x}$  é a entrada do bloco.

#### 9.1.2 Resultados

A ResNet venceu a competição ImageNet em 2015, reduzindo significativamente a taxa de erro e demonstrando a eficácia das conexões residuais para treinamento de redes profundas.

### 9.2 Estudo de Caso 2: Tradução Automática com Transformers

Os Transformers revolucionaram o campo da tradução automática, permitindo modelos que capturam dependências de longo alcance nas sequências de entrada e saída [32].

### 9.2.1 Arquitetura do Transformer

A arquitetura do Transformer é composta por camadas de codificador e decodificador, cada uma contendo mecanismos de atenção multi-cabeça e redes feedforward. O uso de autoatenção permite que o modelo se concentre em diferentes partes da entrada simultaneamente [32].

Matematicamente, a atenção é calculada como:

$$\text{Attention}(Q, K, V) = \text{softmax}\left(\frac{QK^T}{\sqrt{d_k}}\right)V \quad (22)$$

onde  $Q$ ,  $K$ , e  $V$  são as matrizes de consulta, chave e valor, respectivamente, e  $d_k$  é a dimensão das chaves.

### 9.2.2 Resultados

Modelos baseados em Transformers, como o Google Translate e o OpenAI GPT, alcançaram resultados superiores em tarefas de tradução automática, superando modelos baseados em RNNs e CNNs em termos de precisão e eficiência [32].

## 10 Implementação de Redes Neurais

A implementação de redes neurais pode ser realizada utilizando diversas linguagens de programação e frameworks. A seguir, apresenta-se um exemplo básico de implementação de uma rede neural utilizando pseudocódigo, seguido por uma discussão sobre frameworks populares.

### 10.1 Pseudocódigo para uma Rede Neural Feedforward

#### 10.1.1 Explicação do Pseudocódigo

O pseudocódigo acima descreve uma rede neural feedforward simples com duas camadas. A função **ForwardPass** propaga a entrada através das camadas, aplicando a função de ativação  $\sigma$ . A função **BackwardPass** calcula os gradientes do erro em relação aos pesos utilizando a regra da cadeia. A função **AtualizarPesos** ajusta os pesos com base nos gradientes calculados e na taxa de aprendizado. A função **Treinar** orquestra o processo de treinamento ao longo de um número especificado de épocas.

### 10.2 Frameworks Populares para Redes Neurais

Diversos frameworks facilitam a implementação e treinamento de redes neurais, fornecendo abstrações de alto nível e otimizações eficientes.

#### 10.2.1 TensorFlow

Desenvolvido pelo Google, o TensorFlow é um dos frameworks mais populares para aprendizado de máquina e redes neurais. Ele oferece flexibilidade para construir modelos complexos e suporta execução distribuída [1].

---

**Algorithm 5** Rede Neural Feedforward

---

```
1: function FORWARDPASS( $X$ ,  $pesos$ )
2:    $camada1 \leftarrow \sigma(X \cdot pesos1)$ 
3:    $camada2 \leftarrow \sigma(camada1 \cdot pesos2)$ 
4:   return  $camada2$ 
5: end function
6: function BACKWARDPASS( $erro$ ,  $pesos$ )
7:    $gradiente2 \leftarrow erro \cdot camada1^T$ 
8:    $erro\_camada1 \leftarrow pesos2^T \cdot erro$ 
9:    $gradiente1 \leftarrow erro\_camada1 \cdot X^T$ 
10:  return ( $gradiente1$ ,  $gradiente2$ )
11: end function
12: function ATUALIZARPESOS( $pesos$ ,  $gradientes$ ,  $taxa\_aprendizado$ )
13:   $pesos1 \leftarrow pesos1 - taxa\_aprendizado \cdot gradientes1$ 
14:   $pesos2 \leftarrow pesos2 - taxa\_aprendizado \cdot gradientes2$ 
15: end function
16: function TREINAR( $X$ ,  $Y$ ,  $epochs$ ,  $taxa\_aprendizado$ )
17:  for  $\acute{e}poca = 1$  at   $epochs$  do
18:     $output \leftarrow$  FORWARDPASS( $X$ ,  $pesos$ )
19:     $erro \leftarrow Y - output$ 
20:     $gradientes \leftarrow$  BACKWARDPASS( $erro$ ,  $pesos$ )
21:    ATUALIZARPESOS( $pesos$ ,  $gradientes$ ,  $taxa\_aprendizado$ )
22:  end for
23: end function
```

---

### 10.2.2 PyTorch

Desenvolvido pelo Facebook, o PyTorch é conhecido por sua facilidade de uso e suporte para computação dinâmica de grafos, o que facilita a prototipagem rápida e a depuração [25].

### 10.2.3 Keras

Keras é uma API de alto nível que roda sobre TensorFlow, facilitando a criação e treinamento de modelos de redes neurais com uma interface amigável [6].

### 10.2.4 MXNet

Desenvolvido pela Apache, o MXNet é um framework escalável que suporta execução distribuída e integração com diversas linguagens de programação [7].

## 11 Diagramas de Redes Neurais

A seguir, são apresentados diagramas que ilustram a estrutura de diferentes tipos de redes neurais utilizando o pacote `TikZ` no LaTeX.

### 11.1 Rede Neural Feedforward

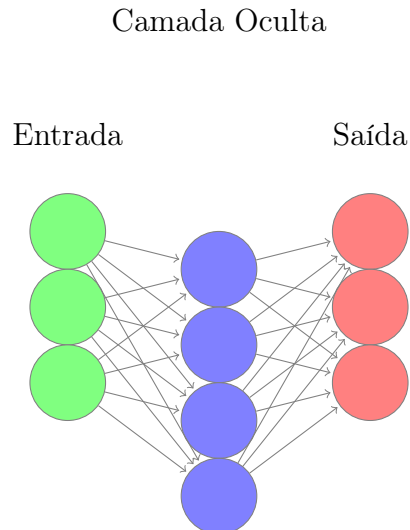


Figura 1: Estrutura de uma Rede Neural Feedforward



Camada de Entrada    Camada Convolutiva    Camada Fully Connected

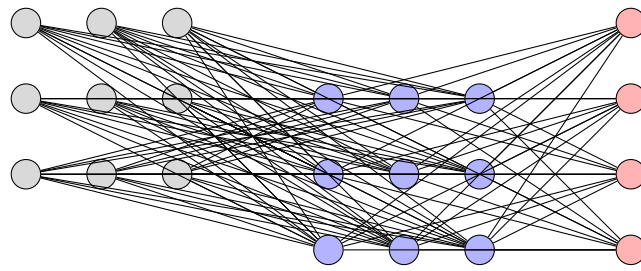


Figura 2: Estrutura de uma Rede Neural Convolutional

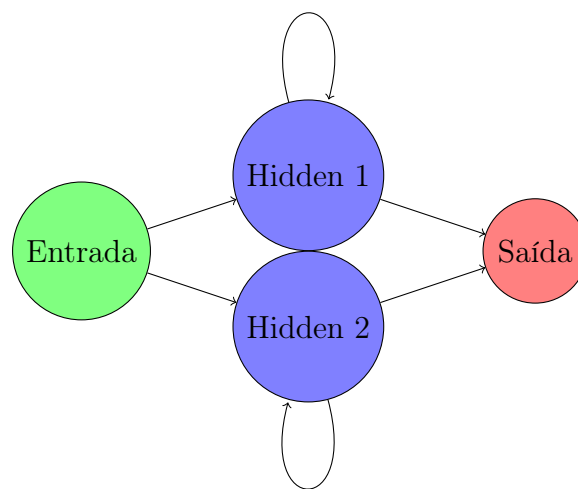


Figura 3: Estrutura de uma Rede Neural Recorrente

## 11.2 Rede Neural Convolutional (CNN)

## 11.3 Rede Neural Recorrente (RNN)

## 11.4 Rede Generativa Adversarial (GAN)

# 12 Implementação Prática com TensorFlow

A seguir, apresentamos um exemplo básico de implementação de uma rede neural feedforward utilizando TensorFlow e Keras.

## 12.1 Exemplo de Implementação

```
import tensorflow as tf
from tensorflow.keras import layers, models

# Definição do modelo
model = models.Sequential()
```

Entrada de Ruído    Entrada Real ou Gerada

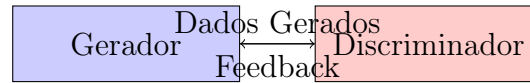


Figura 4: Estrutura de uma Rede Generativa Adversarial

```
model.add(layers.Dense(128, activation='relu', input_shape=(784,)))
model.add(layers.Dropout(0.2))
model.add(layers.Dense(64, activation='relu'))
model.add(layers.Dense(10, activation='softmax'))

# Compilação do modelo
model.compile(optimizer='adam',
              loss='sparse_categorical_crossentropy',
              metrics=['accuracy'])

# Treinamento do modelo
model.fit(x_train, y_train, epochs=10, batch_size=32, validation_split=0.2)

# Avaliação do modelo
test_loss, test_acc = model.evaluate(x_test, y_test)
print(f'Test Accuracy: {test_acc}')
```

### 12.1.1 Explicação do Código

- **Definição do Modelo:** Utilizamos o `Sequential` para empilhar camadas. A primeira camada é uma camada totalmente conectada (`Dense`) com 128 neurônios e função de ativação ReLU, seguida por uma camada de Dropout para regularização. A segunda camada `Dense` possui 64 neurônios, e a camada de saída possui 10 neurônios com ativação softmax para classificação multiclases.
- **Compilação do Modelo:** Utilizamos o otimizador Adam e a função de perda de entropia cruzada categórica esparsa (`loss='sparse_categorical_crossentropy'`).
- **Treinamento do Modelo:** O modelo é treinado por 10 épocas com tamanho de lote de 32, utilizando 20% dos dados para validação.
- **Avaliação do Modelo:** Após o treinamento, o modelo é avaliado no conjunto de teste, e a acurácia é exibida.

## 13 Tendências Futuras em Redes Neurais

O campo das redes neurais está em constante evolução, com várias tendências emergentes que prometem expandir ainda mais suas capacidades e aplicações.

### **13.1 Aprendizado Federado**

O aprendizado federado permite o treinamento de modelos de redes neurais em dispositivos distribuídos sem a necessidade de centralizar os dados, preservando a privacidade dos usuários [24].

### **13.2 Redes Neurais AutoML**

AutoML (Automated Machine Learning) busca automatizar o processo de design e treinamento de redes neurais, otimizando a arquitetura e os hiperparâmetros [10].

### **13.3 Explicabilidade e Interpretabilidade**

Com o aumento da complexidade das redes neurais, a explicabilidade e interpretabilidade dos modelos tornaram-se áreas de pesquisa importantes, visando tornar as decisões dos modelos mais transparentes e compreensíveis [22].

### **13.4 Integração com Computação Quântica**

A computação quântica oferece o potencial para acelerar o treinamento e a inferência de redes neurais, abrindo novas fronteiras para o aprendizado de máquina [4].

### **13.5 Redes Neurais Espinhadas (Spiking Neural Networks)**

Inspiradas pelo funcionamento biológico dos neurônios, as redes neurais espinhadas utilizam eventos de tempo (spikes) para processamento de informações, oferecendo eficiência energética e capacidade de processamento temporal [23].

## **14 Conclusão**

Este artigo apresentou uma visão abrangente sobre redes neurais avançadas, abordando algoritmos essenciais como Minimax e algoritmos de Aprendizado Profundo. Além disso, foram discutidas arquiteturas avançadas, técnicas de otimização e regularização, bem como aplicações práticas em diversos domínios. A compreensão desses conceitos e algoritmos é fundamental para o desenvolvimento e aplicação eficaz de redes neurais em problemas complexos.

O contínuo avanço das redes neurais e das técnicas de aprendizado de máquina promete transformar ainda mais setores como saúde, finanças, tecnologia e muito mais, destacando a importância de pesquisa e inovação contínuas neste campo.

## 15 Referências

### Referências

- [1] Abadi, M., et al. (2016). TensorFlow: A system for large-scale machine learning. *Proceedings of the 12th USENIX Conference on Operating Systems Design and Implementation (OSDI)*.
- [2] Ba, J. L., Kiros, J. R., & Hinton, G. E. (2016). Layer normalization. *arXiv preprint arXiv:1607.06450*.
- [3] Berthelot, D., et al. (2019). MixMatch: A holistic approach to semi-supervised learning. *Advances in Neural Information Processing Systems (NeurIPS)*.
- [4] Biamonte, J., et al. (2017). Quantum machine learning. *Nature*, 549(7671), 195-202.
- [5] Cho, K., et al. (2014). Learning phrase representations using RNN encoder-decoder for statistical machine translation. *arXiv preprint arXiv:1406.1078*.
- [6] Chollet, F. (2015). Keras. *GitHub repository*.
- [7] Chen, T., et al. (2015). MXNet: A flexible and efficient machine learning library for heterogeneous distributed systems. *arXiv preprint arXiv:1512.01274*.
- [8] Duchi, J., Hazan, E., & Singer, Y. (2011). Adaptive subgradient methods for online learning and stochastic optimization. *Journal of Machine Learning Research*, 12, 2121-2159.
- [9] Elman, J. L. (1990). Finding structure in time. *Cognitive Science*, 14(2), 179-211.
- [10] Feurer, M., et al. (2019). Hyperparameter optimization. *Automated Machine Learning (AutoML)*.
- [11] Goodfellow, I., et al. (2014). Generative adversarial nets. *Advances in Neural Information Processing Systems (NeurIPS)*.
- [12] Goodfellow, I., Bengio, Y., & Courville, A. (2016). *Deep Learning*. MIT Press.
- [13] Gu, S., et al. (2017). Deep reinforcement learning for robotic manipulation with asynchronous policy updates. *arXiv preprint arXiv:1704.05811*.
- [14] He, K., et al. (2016). Deep residual learning for image recognition. *Proceedings of the IEEE Conference on Computer Vision and Pattern Recognition (CVPR)*.
- [15] Heaton, J., Polson, N., & Witte, J. (2017). *Deep Learning and the Game of Go*. Academic Press.
- [16] Hochreiter, S., & Schmidhuber, J. (1997). Long short-term memory. *Neural Computation*, 9(8), 1735-1780.

- [17] Hassabis, D., et al. (2020). DeepMind: Building the next generation of AI. *Nature*, 586(7829), 349-357.
- [18] Hinton, G., et al. (2012). Deep neural networks for acoustic modeling in speech recognition. *IEEE Signal Processing Magazine*, 29(6), 82-97.
- [19] Ioffe, S., & Szegedy, C. (2015). Batch normalization: Accelerating deep network training by reducing internal covariate shift. *Proceedings of the International Conference on Machine Learning (ICML)*.
- [20] Knuth, D. E., & Moore, R. W. (1976). An analysis of alpha-beta pruning. *Artificial Intelligence*, 6(4), 293-326.
- [21] LeCun, Y., Bengio, Y., & Hinton, G. (2015). Deep learning. *Nature*, 521(7553), 436-444.
- [22] Lipton, Z. C. (2016). The mythos of model interpretability. *arXiv preprint arXiv:1606.08316*.
- [23] Maass, W. (1997). Networks of spiking neurons: The third generation of neural network models. *Neural Networks*, 10(9), 1659-1671.
- [24] McMahan, B., et al. (2017). Communication-efficient learning of deep networks from decentralized data. *Proceedings of the 20th International Conference on Artificial Intelligence and Statistics (AISTATS)*.
- [25] Paszke, A., et al. (2019). PyTorch: An imperative style, high-performance deep learning library. *Advances in Neural Information Processing Systems (NeurIPS)*.
- [26] Polyak, B. T. (1964). Some methods of speeding up the convergence of iteration methods. *Russian Mathematics Surveys*, 19(4), 271-298.
- [27] Ramachandran, P., et al. (2017). Searching for activation functions. *arXiv preprint arXiv:1710.05941*.
- [28] Ren, S., et al. (2015). Faster R-CNN: Towards real-time object detection with region proposal networks. *Advances in Neural Information Processing Systems (NeurIPS)*.
- [29] Rumelhart, D. E., Hinton, G. E., & Williams, R. J. (1986). Learning representations by back-propagating errors. *Nature*, 323(6088), 533-536.
- [30] Srivastava, N., et al. (2014). Dropout: A simple way to prevent neural networks from overfitting. *Journal of Machine Learning Research*, 15(1), 1929-1958.
- [31] Silver, D., et al. (2016). Mastering the game of Go with deep neural networks and tree search. *Nature*, 529(7587), 484-489.
- [32] Vaswani, A., et al. (2017). Attention is all you need. *Advances in Neural Information Processing Systems (NeurIPS)*.

- [33] Wan, L., et al. (2013). Regularization of neural networks using dropconnect. *Journal of Machine Learning Research*, 15(1), 1055-1092.
- [34] Wen, W., et al. (2016). Deep learning for identifying metastatic breast cancer. *Proceedings of the 2016 IEEE 13th International Symposium on Biomedical Imaging (ISBI)*.
- [35] Yosinski, J., et al. (2014). How transferable are features in deep neural networks? *Advances in Neural Information Processing Systems (NeurIPS)*.